

УДК 677.023

## **ДИНАМИЧЕСКИЙ РАСЧЕТ НАТЯЖЕНИЯ ОСНОВЫ И СИЛЫ ПРИБОЯ НА ТКАЦКИХ СТАНКАХ СТБ**

*В.С. СУПОНЕВ, А.Н. СМИРНОВ, ШАН БАО ПИН*

**(Ивановская государственная текстильная академия)**

Рассмотрим методику динамического расчета циклического изменения натяжения системы заправки, основанную на экспериментальных и теоретических исследованиях, при выработке ткани на ткацком станке СТБ2-330. Вырабатываемая ткань – костюмная, меланжевая, лавсано-

вискозная ткань "Кострома" арт. 82113. Жесткость на растяжение образцов основных нитей и ткани определяли по методике профессора В.А. Гордеева. Для обработки экспериментальных данных использовали специальную программу (рис.1).

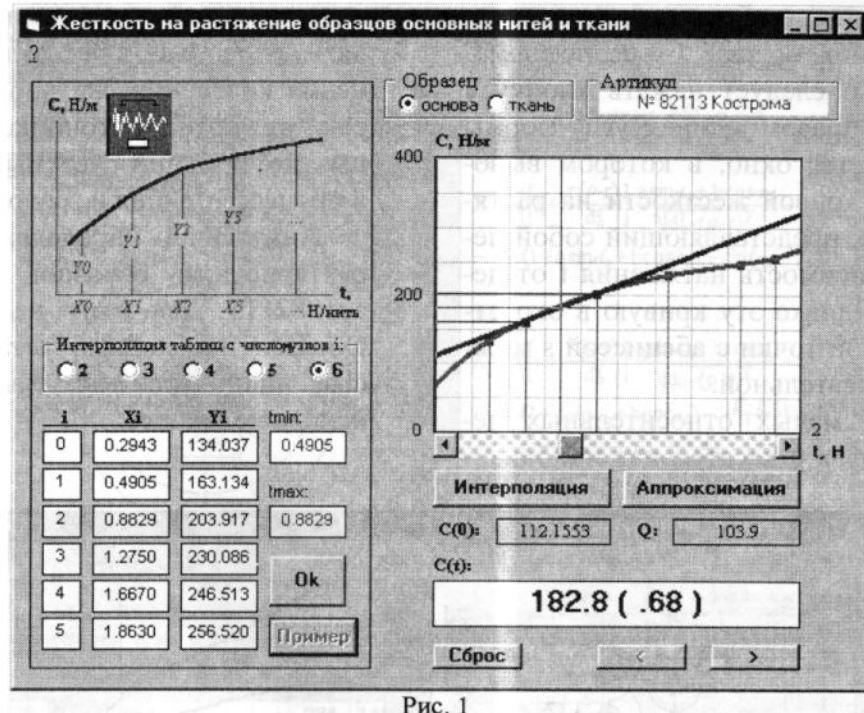


Рис. 1

В группе Образец программы необходимо установить переключатель Основа. В поля таблицы вводят данные измерений, а также значения, соответствующие минимальному  $t_{min}$  и максимальному  $t_{max}$  напряжению системы заправки станка (в расчете на 1 нить), определенные экспериментально на работающем станке. После нажатия кнопок Ok и Интерполяция по методу Эйткена осуществляется интерполяция таблицы с числом произвольно отстоящих узлов и строится нелинейный полином,

характеризующий изменение жесткости образца во всем диапазоне напряжений нити. Просмотреть все значения кривой жесткости можно с помощью линейки прокрутки.

Величины жесткости и напряжения образца выводятся в специальном окне. На рабочем участке изменения напряжения основы кривая аппроксимируется отрезком наклонной прямой после нажатия клавиши Аппроксимация.

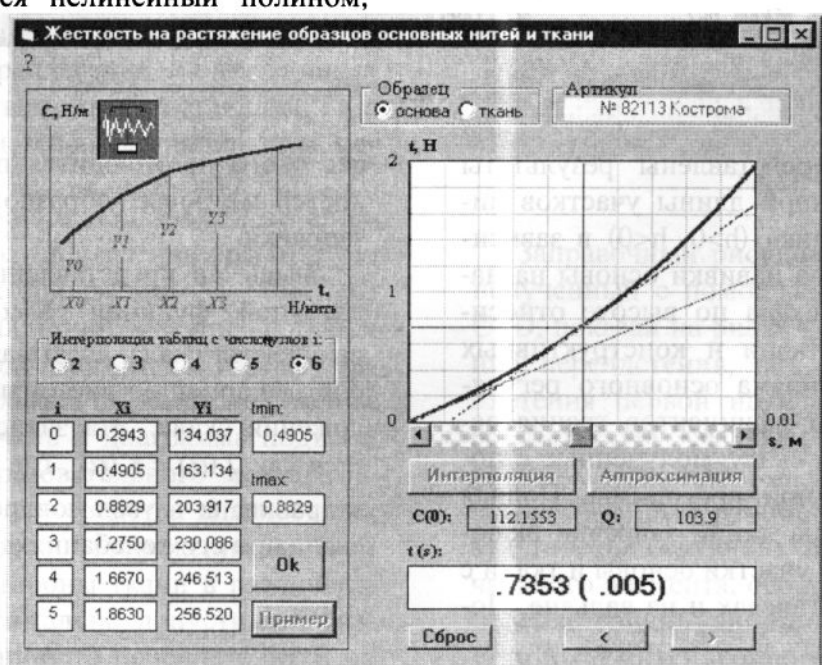


Рис. 2

В дальнейшем требуется знать зависимость натяжения основы от ее деформации. Для этого следует нажать кнопку с символом  $>$  в правом нижнем углу формы рис. 2. Откроется окно, в котором выводится график кривой жесткости на растяжение образца, представляющий собой нелинейную зависимость натяжения  $t$  от деформации  $s$ . Однако эту кривую в окрестности некоторой точки с абсциссой  $s$  можно заменить касательной.

В области малых относительных деформаций кривая и касательная приблизи-

тельно совпадают, что позволяет составлять линейные дифференциальные уравнения колебаний скальной системы, которые являются источником дополнительных деформаций системы заправки станка в процессе прибоя и зевообразования.

Аналогично определяются упругие характеристики образцов полосок ткани арт. 82113. Для этого на форме в группе Образец необходимо установить соответствующий переключатель Ткань и ввести исходные данные.

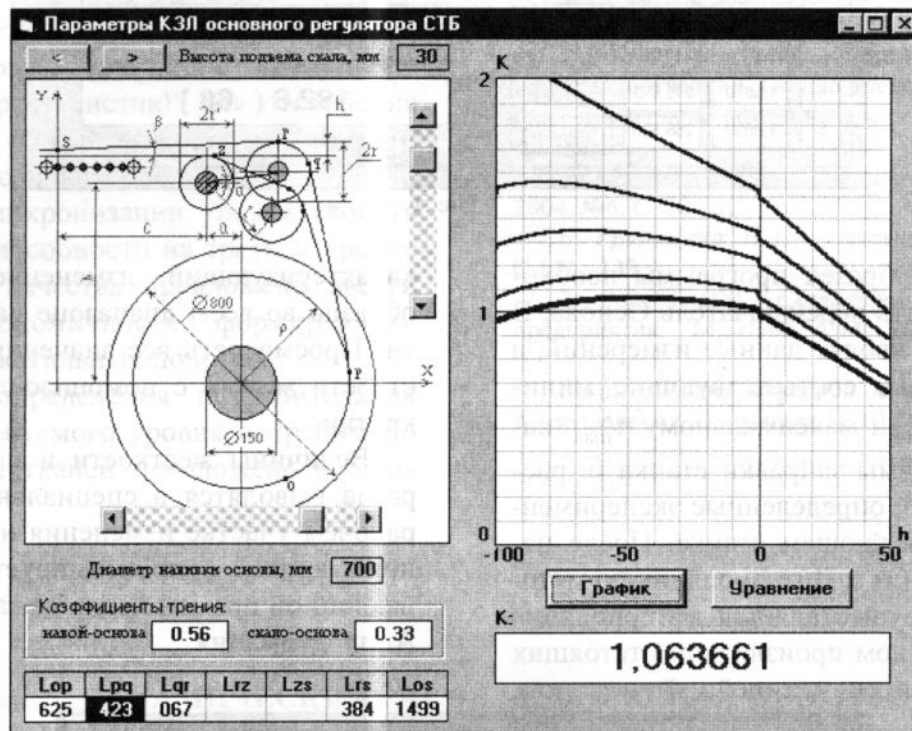


Рис. 3

На рис. 3 представлены результаты расчета приведенной длины участков линии заправки станка ( $h>0$ ,  $h<0$ ) в зависимости от диаметра навивки основы на навое, положения скала по высоте относительно опушки ткани и конструктивных параметров механизма основного регулятора с учетом коэффициентов трения основы по навою и скалу, полученные с помощью специальной программы. Полная приведенная длина линии заправки включает в себя также участки основы и ткани с учетом трения в галевах и на вальяне. По-

сле этого производится перерасчет жесткостей метровых образцов на всю линию заправки.

Здесь же представлены графики передаточной функции  $K(\alpha)$  механизма качающегося скала, связывающей между собой деформацию системы заправки от положения скала. Эта зависимость выражается как  $\lambda(\alpha) = K(\alpha)$ , где  $\lambda$  – деформация заправки;  $\alpha$  – угол поворота качающегося скала при его колебаниях.

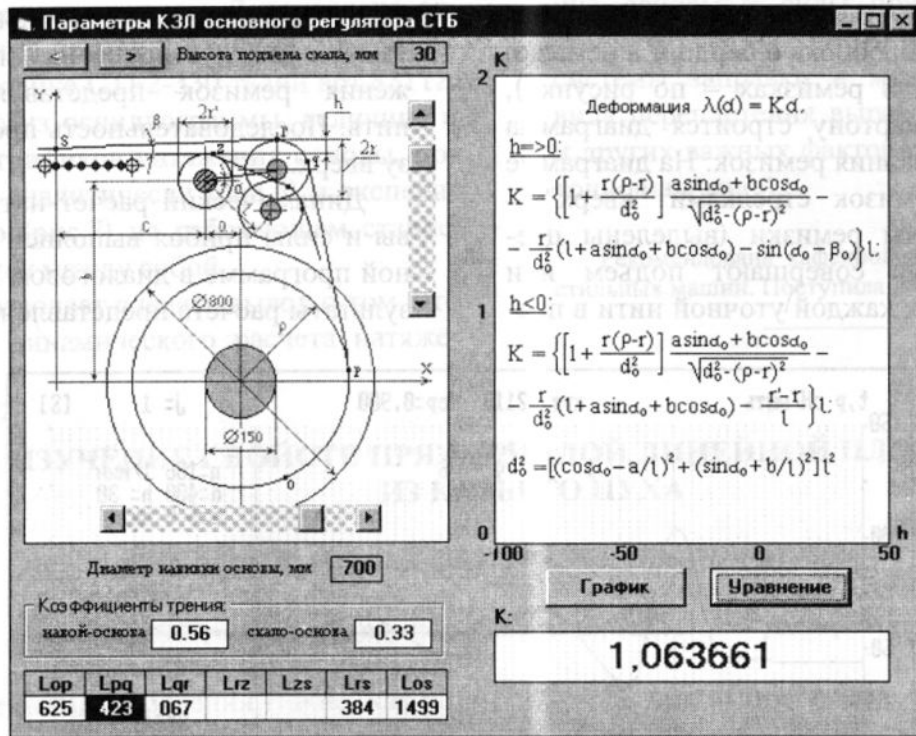


Рис. 4

На рис.4 приведены аналитические выражения для передаточной функции при различных способах заправки, по которым построены графики. Обозначения конструктивных параметров, входящих в выражение передаточной функции, показаны на схеме регулятора.

Для построения заправочного рисунка ткани арт.82113 использовался специально разработанный пакет программ СТД, предназначенный для построения мелкоузорчатых переплетений однослойных тканей, вырабатываемых на станках СТБ с эксцентриковым зевообразовательным механизмом.

Систему можно использовать для автоматизированного построения раппортов матриц главных, производных и комбинированных переплетений, матриц проборки в ремизки и бердо, картон. По картону автоматически строится схема расположения (рассадки) кулачков и диаграмма подъема ремизок зевообразовательного механизма. В системе имеются средства для построения цветных узоров, отображения лицевой и изнаночной стороны ткани в различном масштабе. Максимально допустимый размер матрицы раппорта переплетения 8 на

128 нитей, цветного узора – 128 на 128 нитей.

**Саржа сложная  
3/2+1/2  
Ry=8 Ro=48**

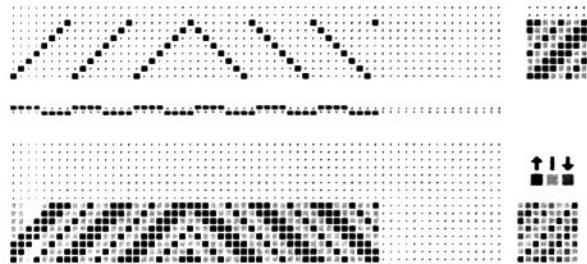


Рис. 5

Заправочный рисунок ткани арт.82113, полученный с помощью пакета программ СТД, показан на рис.5, где указаны: название переплетения, вид начального переплетения первой нити 3/2+1/2, которому соответствует эксцентрик зевообразовательного механизма.

Законченный рапорт образуется в результате последующих трансформаций начального элемента, свойственных данному переплетению. Рапорт переплетения по утку  $R_y=8$  нитей, рапорт по основе  $R_o=48$  нитей.

По рисунку переплетения автоматически строятся проборка в бердо и в ремизки (проборка на 8 ремизках – по рисунку), картон. По картону строится диаграмма подъема-опускания ремизок. На диаграмме движения ремизок стрелками "вверх" – "вниз" указаны ремизки (выделены цветом), которые совершают подъем или опускание для каждой уточной нити в пре-

делах раппорту по утку. Каждое горизонтальное междустрочие на диаграмме движения ремизок представляет уточную нить. Последовательность прокидок – снизу вверх.

Динамический расчет натяжения основы и силы прибоя выполнен по специальной программе в диалоговом режиме, а результаты расчета представлены на рис. 6.

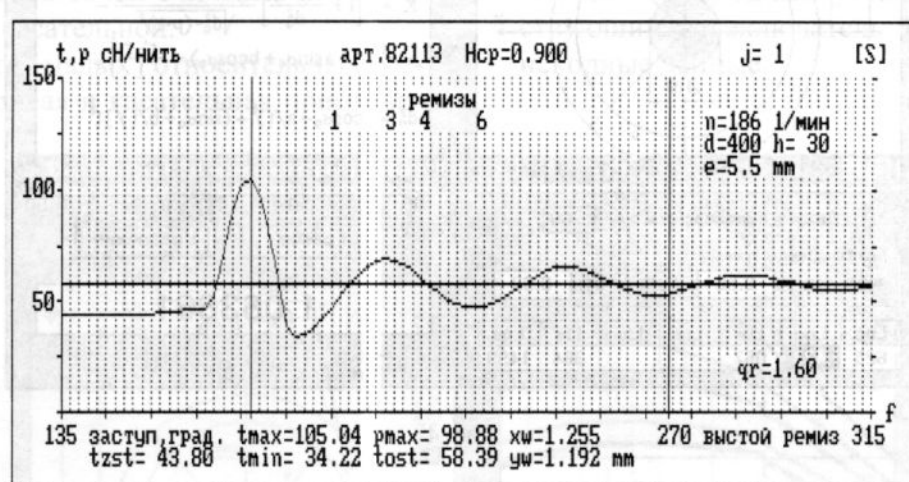


Рис. 6

Горизонтальная линия на графике представляет собой статическое натяжение  $t_{ost}=58,39$  сН/нить при полностью открытом зеве, когда все ремизки и батан находятся на выстой. Заступ начинается при 135 градусах поворота главного вала. Натяжение в заступе  $t_{zst}=43,8$  сН/нить. В переднем положении берда натяжение основы максимально и составляет  $t_{max}=105,04$  сН/нить. Сила прибоя в этом положении максимальна  $p_{max}=98,88$  сН/нить. При отходе берда в заднее положение натяжение также резко уменьшается, достигая минимального значения  $t_{min}=34,22$  сН/нить. При при-

бое качающееся скало совершает вынужденные колебания под действием натяжения основы. После этого происходит отрыв берда от опушки ткани и скальная система совершает свободные угловые и изгибные затухающие колебания с некоторыми начальными условиями, в результате чего изменение натяжения заправки также носит колебательный характер с частотами, соответствующими частотам колебаний скальной системы.

На участке выстоя ремизок колебания практически полностью затухают, поэтому они являются неустановившимися.

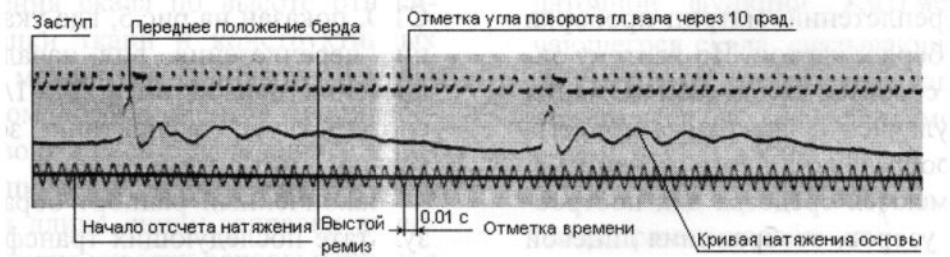


Рис. 7

Для сравнения на рис.7 приведена осциллограмма натяжения основы при выработке на станке СТБ2-330 ткани арт.83112. Как видно из осциллограммы, величина и характер графиков натяжения основы, полученные аналитически (рис.6) и экспериментально (рис.7) на работающем станке, согласуются между собой.

Это позволяет сделать вывод о том, что методика динамического расчета натяже-

ния основы и силы прибоя на ткацких станках СТБ с учетом упругих свойств системы заправки и механизмов станка, вида переплетения вырабатываемой ткани и других важных факторов является достаточно надежной.

Рекомендована кафедрой проектирования текстильных машин. Поступила 28.01.05.

---